

東京大学 学○前川 宏一
東京大学 学 二羽 淳一郎

1 はじめに 複雑な形状を持つ鉄筋コンクリート構造物の設計や空間的広がりを持つRC部材の挙動の研究で有限要素法は有力な手段となり得るが、一方鉄筋コンクリート特有の特性の完全なモデル化はなされておらず確立された段階には到っていない。そこでコンクリートの非線形挙動、付着及びひびわれのモデル化を行ない、システムティックにパラメータを変えたDeep Beamの解析を行ない、適用性について検討を加えた。

2 解析対象 Fig.1, Table 1 に示すDeep Beamの諸元を示す。

3 コンクリートモデル 平面応力下の短時間

応力歪の関係を対象とし、2軸下軟化、体積変化を考慮した全変形構成則を使用した。¹⁾応力及び歪テンソル S_{ij} , E_{ij} の不变量 S , E は(1), (2)で定義

Beam	a (mm)	d (mm)	a/d	r (mm)	h (mm)	p (%)	Fy (MPa)	Fc' (MPa)
T1	200	228	0.88	140	300	6.0	364	13.1
T2	200	507	0.39	100	600	3.0	389	54.7
T3	200	228	0.88	100	300	3.0	364	13.1
T4	150	507	0.30	140	600	3.0	389	13.1
T5	200	507	0.39	140	600	6.0	389	54.7
T6	150	507	0.30	100	600	6.0	389	12.2
T7	150	228	0.66	100	300	6.0	364	58.8
T8	150	228	0.66	140	300	3.0	364	58.8

外多軸応力下のデータより(3)を仮定した。

$$S = S(sij) = S(s1, s2) = \sqrt{\left(\frac{s1 + s2}{2.32 Fc}\right)^2 + \left(\frac{s1 - s2}{1.108 Fc}\right)^2} \quad (1)$$

$$E = E(eij) = E(e1, e2) = \sqrt{\left(\frac{e1 + e2}{4.8}\right)^2 + \left(\frac{e1 - e2}{3.12}\right)^2} \times 10^3 \quad (2)$$

$$S = F(E) = 1.042 E^4 - 2.083 E^3 + 0.042 E^2 + 2.0 E \quad E \leq E2 \\ = -0.25 E + 1.25 \quad E2 < E \quad (3)$$

一方、主応力に対応する歪には、変形の小さい等方性挙動の仮定が成立する時(4)が成立する。 $S_{12} = (P + Y_0)/(1 + P \cdot Y_0)$ $P = E/E_0$, $Y_0 = 0.2$, $E < EI - 0.6$ (4)

$E \geq EI$ に対して(4)を拡張し、体積変化と異方性を取り入れた定式化を行った。

4 ひびわれ取扱い (5)で C_i を定義し $C_i > 0$ の under compression-tension under biaxial tension 時ひびわれ発生とする。最大主応力方向の剛性を $C_i = (s1/Ft) - \sqrt{1 + s2/Fc}$ $C_i = (s1/Ft) - 1$ (5) ゼロとした直交異方性材料に置換し、ひびわれ直交方向の応力を解放することによりひびわれを表現した。ただし、 $C_i < C_{ci}$ ときひびわれ時の引張応力が発生するとし、鉄筋コンクリートの曲げ試験の解析にあわるように $C_{ci} = 1$ とした。なおひびわれ面でのせん断伝達は無視し、ひびわれ後は一軸状態とした。

5 付着とダウエル作用 Fig.2 に鉄筋要素とコンクリート要素の結合方法を示す。⁴⁾ 共通節点をもつて曲げひびわれ間隔に等しく配置し、部分的完全付着とすることで鉄筋に交差するひびわれとダウエル作用を間接的に表現した。

6 有限要素法解析 内部応力状態より、以下のシリーズにFig.3に

示す4-8可変節点アイソパラメトリック要素を使った要素分割を用い、外力は強制変位を与えた。斜張を引いた要素内では、破壊近くで応力が大きく変化する可能性があり、ガウス積分次数を5とし、3軸圧縮応力の影響を考え、強度を80%削減した。

Newton-Raphson 法による増分法を用い、くり返し計算中の修正ベクトルの合計(6)を与え、収束の安定性をつかった。³⁾

$$dF_i = K_i \times V_i \quad K_i = 1.0 \quad \text{when } 0.8 < V_i/V'_i < 1.0 \\ \text{otherwise, } K_i = 0.5$$

$$V = F - \iiint B \sigma dV \quad V_i, V'_i : V_i \text{成分} \quad V'_i \text{の前回の収束計算での節点の値} \quad (6)$$

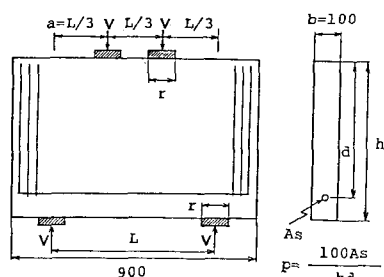


Fig. 1 Deep Beam Specimen Tested

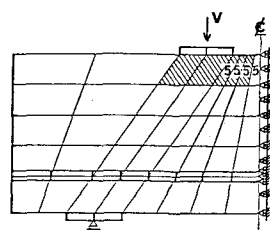


Fig. 3 Idealization of Finite Elements

7 解析結果と考察

7-1 破壊モードと耐力 8ケースの解析より

予測され得る破壊モードと12(?)斜め圧縮破壊(b)曲げ圧縮破壊(c)曲げ引張破壊があげられTable 2に実験データと解析結果を示す。(a)はFig

Beam	Failure Mode		Failure Load (KN)		DC:Diagonal Compression SL:Slip FC:Flexural Compression FT:Flexural Tension
	Experiment	Analysis	Experiment	Analysis	
T1	SL	FC	267	250	
T2	DC	DC	1028	1373	
T3	SL	FC	228	235	
T4	DC	DC	425	484	
T5	DC	DC	1270	1471	
T6	DC	DC	417	368	
T7	SL	FC	884	1152	
T8	FT	FT	941	888	

4に示すとおり、支点上部コンクリート要素

Table 2 Failure Mode and Failure Load of Deep Beams

主圧縮応力が卓越塑性化し、隣接要素への応力配分により、力状態が平均化され(STEP 6-9)，せきに変形が進むと支点上の要素が複数軟化し、支点反力が低下するアロセスモードた。このモードは実際の破壊性状と耐力と、大変良く一致している。(b)により中央の上部要素が塑性軟化するアロセスモードと、支点上部の応力レベルが一転圧縮強度の70%前後である。しかし実験では上部載荷板の外側と斜めひびわれ部を通じてひびわれが入り、すべりで破壊した(Fig.5)。ひびわれ面でのセン断伝達不無視していることと、すでにひびわれたコンクリートに鏡角に交わる第2ひびわれのモデル化ができないことと、要素の破壊と実際の破壊現象との対応が必ずしも明確でない事が計算と実際との不一致の原因として考えられる。(c)は引張主筋筋の降伏により耐力が決定され、実験データと同様、耐力モードは一致した。

7-2 ひびわれパターン 8ケースの解析より

(A), (B)のひびわれタイプが認められた。

- (A) %が少々く、曲げひびわれの進展が少々く少々多く斜めひびわれの卓越する場合。
- (B) %が大きく、曲げひびわれの進展が卓越し、斜めひびわれが多数均等に入る3ケース。

Fig.6に2つタイプの計算ひびわれパターンと実際のひびわれ状態(実線)を示す。共にひびわれの方向、位置は実際の中間運動を良く表わしているといえる。

8まとめ 以上より以下の事がいえる。

- (1) 強制変位による非線形計算はコンクリートの軟化する部材、耐力計算に有効である。しかし軟化現象の解析には、解の収束、局部的材料安定の問題がありなお慎重を検討が必要である。

(2) Deep Beam の運動のうち、支点上部コン

クリートの圧縮破壊から曲げ引張り破壊は以上の手法で予測可能である。

- (3) Deep Beam の第2斜めひびわれの発生とすべり破壊の予測は上記の手法とは完全に追跡できず、ひびわれ面でのセン断伝達のモデル化とひびわれ後のコンクリートの破壊のモデル化がます必要となる。ている。

参考文献

- 1)前川二羽：全寸法表示におけるコンクリート構造則の定式化 第35回年次講演会
- 2)二羽前川：JIS-T-4170-1の破壊規準に対する考察 第35回年次講演会
- 3)Niwa,Maebara,Okamura : Nonlinear Finite Element Analysis of Deep Beams. IABSE Colloquium Delft.
- 4)Scordelis : Finite Element Study of Reinforced Concrete Beams with Diagonal Tension Cracks. ACI SP42-2

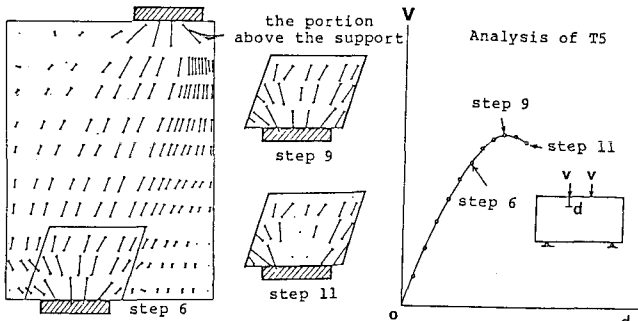
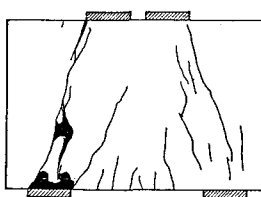
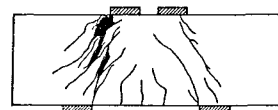


Fig. 4 The Change of Compression Stress Distribution of T5

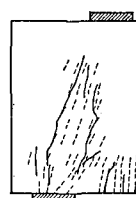


(a) T5, predicted to be failed in diagonal compression



(b) T7, predicted to be failed in flexural compression

Fig. 5 Crack Formation and Failed Portions



(a) T5



(b) T7

Fig. 6 Predicted and Observed Crack Pattern